

# تحلیل استاتیکی سدهای سنگریز با رویه‌ی بتنی بر اساس رفتار کشسانی - خمیری مصالح

سید محسن حائری (دانشیار)

مجتبی اصفهانی (کارشناس ارشد)

دانشکده‌ی مهندسی عمران، دانشگاه صنعتی شریف

در نوشتار حاضر، مجموعه‌ی تحقیقات انجام شده در مورد رفتار سدهای سنگریز با رویه‌ی بتنی<sup>۱</sup> (سدۀای CFR) تحت اثر وزن و فشار ناشی از آب‌گیری مخزن ارائه می‌شود. به منظور ارزیابی رفتار این سدها، ابتدا مطالعات گذشته‌ی آنها بررسی می‌شود و سپس، مقدمات مورد نیاز برای انجام تحلیل، شامل بررسی مدل رفتاری مناسب برای مصالح و جزئیات تدوین و کنترل عملکرد برنامه‌ی رایانه‌یی مطرح می‌شود. در ادامه با مدل‌سازی مسئله‌ی مورد بحث جزئیات نتایج به دست آمده از تحلیل ارائه شده و جمع‌بندی نهایی صورت می‌گیرد. از مهم‌ترین نتایج این بررسی می‌توان به پیش‌بینی نحوه‌ی توزیع تغییر شکل‌های خمیری در بدنه‌ی سد و نیز مشاهده‌ی اثر تغییرات تراز آب مخزن، به ویژه روی رفتار دال بتنی<sup>۲</sup> رویه، اشاره کرد.

## مقدمه

### معرفی سدهای سنگریز با رویه‌ی بتنی

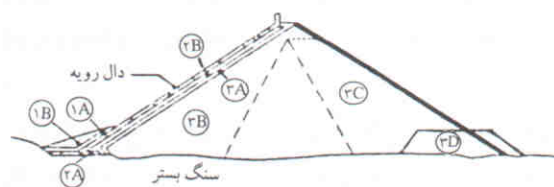
سدۀای سنگریز با رویه‌ی بتنی، یکی از انواع خاص سدهای سنگریز هستند که در آنها، کاهش تراوش آب از طریق اجرای یک دال بتنی بر سدهای CFR بالادست سد تأمین می‌شود. شکل ۱ جزئیات عمومی بدنه‌ی سدهای CFR را نمایش می‌دهد. چنانکه مشاهده می‌شود بدنه‌ی سد از جنس مصالح سنگریز تشکیل شده است، به صورتی که از بالادست به طرف پائین دست به تدریج اندازه‌ی سنگ‌دانه‌ها بزرگ‌تر شده و امکان اجرای عملیات تراکم در لایه‌های ضخیم‌تر فراهم می‌شود. اندازه‌ی ابعاد قطعات سنگریز باید به گونه‌یی باشد که حداقل ۳۰ درصد آنها کوچک‌تر از  $2/5$  متر باشد. همچنین مقاومت فشاری قطعات سنگ نباید از  $30$  کیلوگرم بر سانتی‌متر مربع کمتر باشد. دال بتنی که بر شیب بالادست اجرامی شود با ضخامت متغیر  $3/0$  متر

تا  $5/0$  متر و از نوع مسلح است. تسلیح دال برای مقابله با تنش‌های حرارتی و افت صورت می‌گیرد. برای جلوگیری از لغزش دال رویه قبل از آب‌گیری مخزن، در پای دال و روی سنگ بستر، دال بتنی با ضخامت حدود  $5/0$  متر اجرا می‌شود. این دال نیز مسلح بوده و توسط میل مهار در سنگ بستر محکم می‌شود.

### مطالعات گذشته

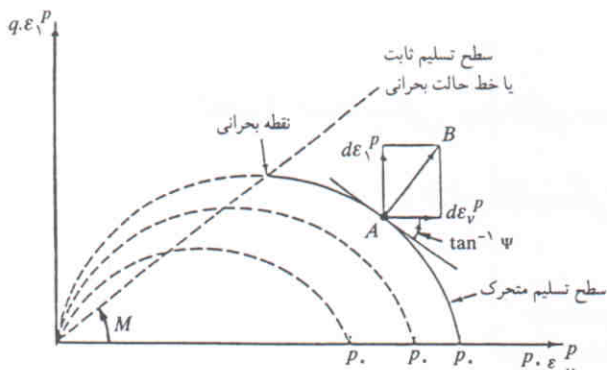
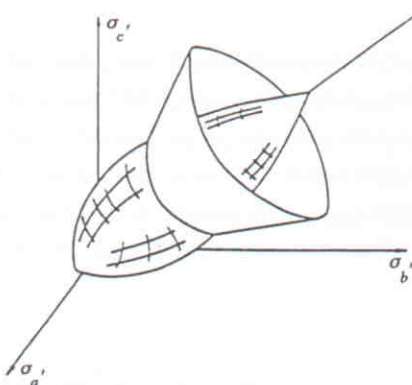
در غالب سدهای CFR که تاکنون طراحی و ساخته شده‌اند تحلیل پایداری به شکلی که در سدهای خاکی و سنگریز مطرح است صورت نگرفته است. در واقع به دلیل مقاومت بررشی قابل توجه مصالح سنگریز و عدم وجود آب در فضاهای خالی ما بین مصالح و در نتیجه عدم تولید فشار آب حفره‌یی، سدهای CFR را می‌توان در رده‌ی سدهای بسیار مقاوم در برابر لغزش و گسیختگی به شمار آورد. از این رو دیدگاه حاکم بر تحلیل سدهای CFR عموماً دیدگاه خرابی و تعادل حدی نیست بلکه از منظر کنترل تنش و کرنش در بدنه، به ویژه در دال، به مسئله نگریسته می‌شود.

مطالعات گذشته در مورد رفتار سدهای CFR غالباً با بررسی رفتار دینامیکی این نوع سدها در شرایط وقوع زلزله صورت گرفته و اطلاعات کمتری در مورد بررسی رفتار استاتیکی این نوع سدها در متون فنی موجود است.<sup>[۱]</sup> به علاوه در مطالعات گذشته مسئله‌ی رفتار کشسانی - خمیری مصالح سنگریز کمتر مورد توجه قرار گرفته و اثر تغییرات تراز آب مخزن روی بدنه‌ی سد و دال دیده نشده است.



- ۱A = خاک نفوذناپذیر  
۱B = مصالح دلخواه  
۲A = سنگریز اجرایی در لایه‌های  $5/0$  متر  
۲B = فیلتر ریزدانه  
۳A = سنگریز اجرایی در لایه‌های ۱ متر  
۳B = مخلوط سنگ شکسته و ماسه  
۴D = اباحت موقع سنگریز

شکل ۱. مقطع عمومی سد CFR و اجزای آن.

شکل ۲. سطوح تسلیم مدل رفتار حالت بحرانی در فضای  $p$ - $q$ - $\epsilon$ . [۱]

شکل ۳. مدل رفتار حالت بحرانی در فضای سه بعدی. [۲]

افزون یک مدل رفتاری کشسانی-خمری مناسب، در قالب یک زیربرنامه‌ی رایانه‌یی به آن، مورد توجه محققین واقع شد. مهم‌ترین مزیت این انتخاب امکان استفاده از سیستم حل معادلات و پس‌پردازندگی قدرتمند این نرم‌افزار است.<sup>[۱]</sup> در مقابل، یکی از نقاط ضعف برنامه‌ی ANSYS، که رفع آن هدف این مطالعات است، فقدان یک مدل رفتاری مناسب برای مصالح خاکی و سنگریز در این برنامه‌ی رایانه‌یی است. برای جبران این نقطه ضعف، مدل رفتاری حالت بحرانی در قالب یک زیربرنامه‌ی رایانه‌یی به اصل برنامه افزوده شده و نسخه‌ی اصلاح شده برنامه حاصل شده است. این نسخه‌ی اصلاح شده، کلیه‌ی قابلیت‌های عددی برنامه‌ی ANSYS را دارد و به علاوه زیربرنامه‌ی نوشته شده در آن قابل استفاده خواهد بود.

برای ارزیابی عملکرد برنامه‌ی اصلاح شده، مجموعه‌ی از مسائل حل شده با استفاده از مدل رفتاری حالت بحرانی انتخاب و مورد بررسی قرار گرفته که در ادامه به طرح دو نمونه از آنها می‌پردازیم.

مسئله‌ی اول، مدل‌سازی یک آزمایش سه‌محوری عادی (CTC) است که در آن تغییرات کرنش قائم نمونه‌ی آزمایشگاهی در برابر اختلاف تنش‌های اصلی اعمال شده بر آن بررسی می‌شود.<sup>[۴]</sup>

بر این اساس مطالعات حاضر به منظور توسعه‌ی دایره‌ی اطلاعات موجود در مورد رفتار سدهای CFR مطرح می‌شود.

### مدل رفتاری حالت بحرانی<sup>۳</sup>

در مطالعات حاضر برای مدل‌سازی رفتار کشسانی-خمری مصالح سنگریز بدنه‌ی سداز مدل رفتاری حالت بحرانی استفاده می‌شود. این مدل رفتاری در عین سادگی و فرمول‌بندی مناسب به نحو قابل قبول، رفتار مصالح خاکی و سنگریز را مدل‌سازی می‌کند.

در شکل اصلاح شده‌ی این مدل، کلاهک‌های تسلیم با معادله‌ی ساده‌ی یک بیضی نشان داده می‌شود (شکل ۲). اگر سطح تنش در داخل بیضی قرار گیرد، رفتار مصالح به صورت کشسانی و خمری فرض می‌شود. آن به صورت ترکیبی از رفتارهای کشسانی و خمری فرض می‌شود. برای تعریف مدل، پنج پارامتر مورد نیاز است. این پارامترها عموماً با انجام آزمایش‌های متعارف روی مصالح قابل محاسبه‌اند. برای مصالح درشت‌دانه استفاده از آزمایش سه‌محوری با تنش هم‌جانبه<sup>۴</sup> و برای مصالح ریز‌دانه استفاده از آزمایش تحکیم ادومتر<sup>۵</sup> توصیه می‌شود.

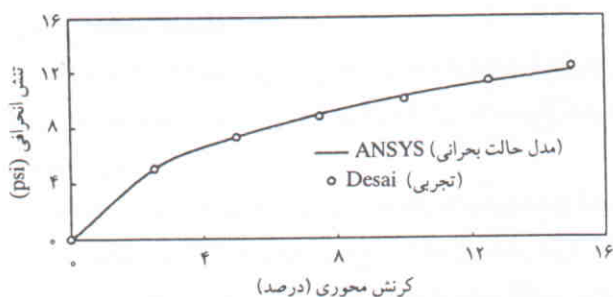
در مرحله‌ی باربرداری، رفتار مصالح به صورت کشسان فرض می‌شود. در مدل رفتاری حالت بحرانی نیز این امر با قرار گرفتن وضعیت تنش در داخل بیضی تسلیم مدل می‌شود. شکل ۳ نمای سه‌بعدی سطوح تسلیم را نمایش می‌دهد.

در فرمول‌بندی رایج برای مدل حالت بحرانی عموماً تابع پتانسیل خمری (g) برابر با تابع تسلیم (f) در نظر گرفته شده و در اصطلاح از قانون جریان وابسته<sup>۶</sup> تعیین می‌شود. در این شرایط با فرض برقراری قانون تعامد روی سطح بیضی تسلیم، نرخ کرنش پلاستیک عمود بر سطح تسلیم در نظر گرفته می‌شود.<sup>[۲]</sup>

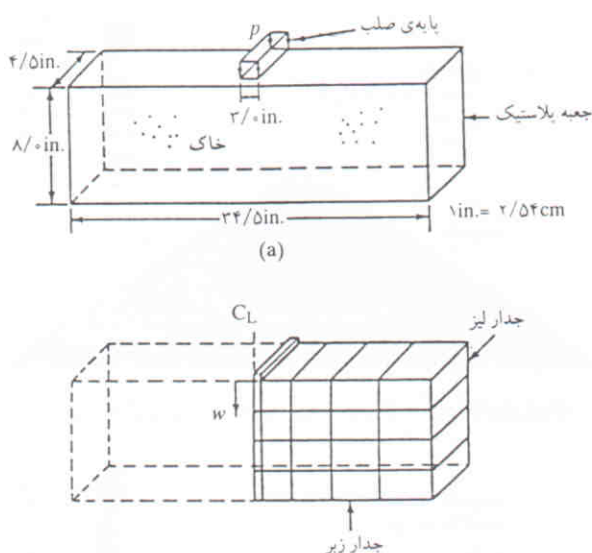
چنانکه در شکل ۲ ملاحظه می‌شود علاوه بر سطح تسلیم متحرک (کلاهک)، سطح ثابتی که معادل سطح حالت بحرانی است به عنوان حد نهایی باربری مصالح در نظر گرفته می‌شود. برای مدل کردن این سطح حالت بحرانی، در مطالعات حاضر از مدل رفتاری دراکر-پراگر<sup>۷</sup> استفاده شده است. با رسیدن سطح تنش به سطح بحرانی، مدل دراکر-پراگر وارد عمل شده و سطح تنش رادر حد سطح حالت بحرانی محدود می‌کند. برای جلوگیری از اثر اتساع<sup>۸</sup> روی سطح حالت بحرانی از قانون جریان غیر وابسته<sup>۹</sup> استفاده می‌شود. در این حالت روی سطح بحرانی قانون تعامد برقرار نبوده و تابع پتانسیل خمری با تابع تسلیم متفاوت خواهد بود.

### ارزیابی عملکرد برنامه‌ی رایانه‌یی

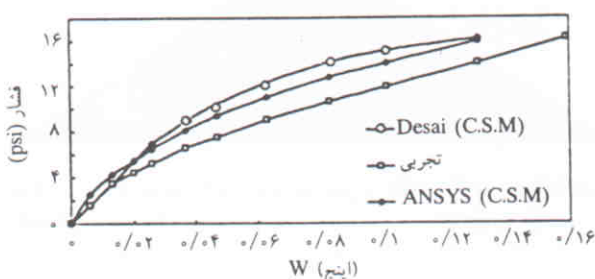
در مطالعات حاضر استفاده از بدنه‌ی اصلی نرم‌افزار ANSYS و



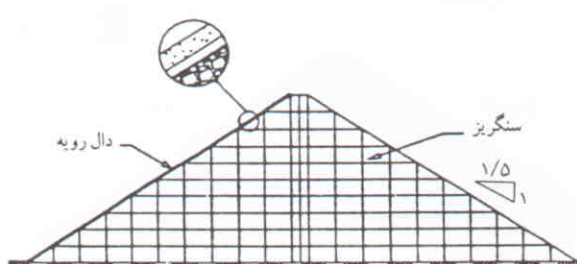
شکل ۴. مقایسه پاسخ‌ها در مسئله‌ی آزمایش سه‌محوری.



شکل ۵. جزئیات مسئله‌ی نشتی پی.<sup>[۱]</sup>



شکل ۶. مقایسه پاسخ‌ها در مسئله‌ی نشتی پی.



شکل ۷. مدل سازی سد CFR به صورت المان محدود.

مدل مسئله‌ی آزمایش سه‌محوری، یک مدل تقارن محوری مستطیل شکل است که ارتفاع آن دو برابر عرض انتخاب می‌شود. براین اساس، پاسخ حاصل از تحلیل به کمک برنامه‌ی ANSYS اصلاح شده، به همراه پاسخ تجربی ارائه شده در مرجع در شکل ۴ مشاهده می‌شود. چنانکه ملاحظه می‌شود پاسخ حاصل اختلاف معنی‌داری با پاسخ ارائه شده در مرجع ندارد و این امر صحت عملکرد زیربرنامه را نشان می‌دهد.

مسئله‌ی دوم یک مسئله‌ی معمول ژئوتکنیک است که در آن نحوه تغییر شکل خاک زیری با استفاده از مدل رفتار حالت بحرانی ارزیابی می‌شود<sup>[۱]</sup> (شکل ۵).

شکل ۶ نشانگر پاسخ بدست آمده از نسخه‌ی اصلاح شده برنامه‌ی ANSYS و مقایسه‌ی آن با پاسخ‌های عددی و تجربی موجود<sup>[۱]</sup> است. چنانکه مشاهده می‌شود پاسخ بدست آمده تا حد زیادی با پاسخ‌های موجود منطبق بوده و نشست نهایی محاسبه شده در دو حالت کمتر از ۲٪ اختلاف دارد. همچنین به دلیل استفاده از تعداد زیرگام‌های بیشتر در حل مسئله، پاسخ بدست آمده نسبت به پاسخ موجود، به نتایج تجربی نزدیک‌تر است.

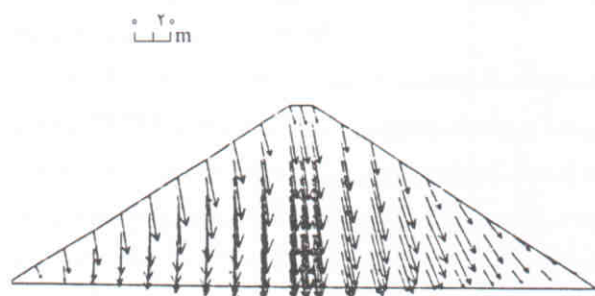
### جزئیات مدل سازی سدهای CFR

در ادامه‌ی روند مطالعات، گام بعدی استفاده از زیربرنامه‌ی تدوین شده در بررسی رفتار سدهای سنگریز با رویه‌ی بتنی است. برای این منظور یک مقطع عمومی از یک سد CFR به صورت دو بعدی مدل سازی می‌شود. ارتفاع این مقطع ۱۰۰ متر و شیب جانبی آن ۱:۵ است (شکل ۷).

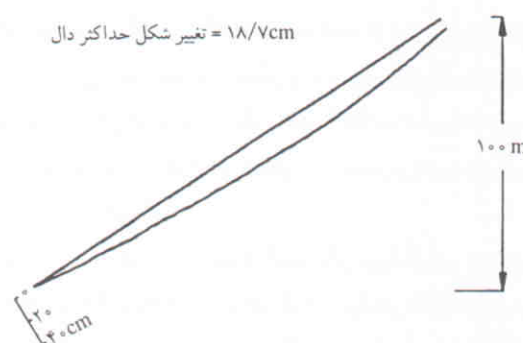
برای مدل سازی بدنه‌ی سد از المان‌های چهارگرهی هم‌متغیر با مدل رفتاری حالت بحرانی و در نظر گرفتن مراحل ساخت بدنه در ۱۰ لایه استفاده می‌شود. بر روی شیب بالا دست، دال بتنی به ضخامت ۳۰ سانتی‌متر و به کمک المان‌های چهارگرهی ریزتر مدل سازی می‌شود و رفتار بتنی به صورت کشسان خطی فرض می‌شود. در حد فاصل دال بتنی و بدنه‌ی سنگریز از المان‌های درز سه‌گرهی با رفتار کشسانی-خمیری کامل استفاده می‌شود. رفتار المان تا قبل از رسیدن به آستانه‌ی لغش دال روی بدنه کشسان، و پس از آن خمیری کامل است. مدل رفتاری مورد استفاده در المان حد فاصل، مدل رفتاری موهر-کولمب<sup>[۱]</sup> است.

تحلیل سازه تحت اثر وزن آن در ۱۰ گام، و هر گام با فعال کردن وزن یک لایه‌ی جدید صورت می‌گیرد. در گام ۱۱ وزن دال بتنی فعال می‌شود و در گام آخر فشار آب موجود در مخزن اعمال می‌شود. در هر یک از گام‌های دوازده گانه تعداد ۱۰ تا ۵۰ زیرگام برای تدقیق تحلیل غیر خطی به کار می‌رود.

است. اگر حداکثر نشست سد با استفاده از مدل رفتاری کشسان برای مصالح سنگریز محاسبه شود، مقدار آن برابر  $20\text{ سانتی متر } / 20^\circ$  درصد ارتفاع سد) به دست می‌آید (شکل ۹). از سوی دیگر مقدار نشست بیشینه برای سدی به ارتفاع  $110\text{ متر}$  و شیب جانبی  $1:13$ ، پس از آبگیری با استفاده از مدل رفتاری معادل خطی، برابر  $31\text{ سانتی متر } / 31^\circ$  درصد ارتفاع سد) محاسبه شده است.<sup>[۱۲]</sup> در شکل ۱۰ الگوی تغییر مکان افقی بدنه سد رسم شده است. چنانکه ملاحظه می‌شود، حداکثر تغییر مکان افقی بدنه سد برابر  $9^\circ$



شکل ۱۱. الگوی توزیع بردارهای تغییر مکان بدنه پس از آبگیری.



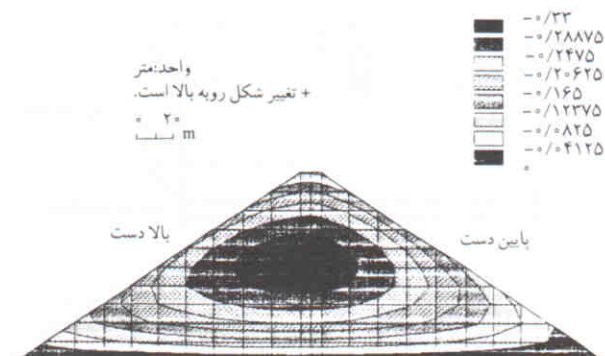
شکل ۱۲. الگوی تغییر شکل دال بتی رویه.



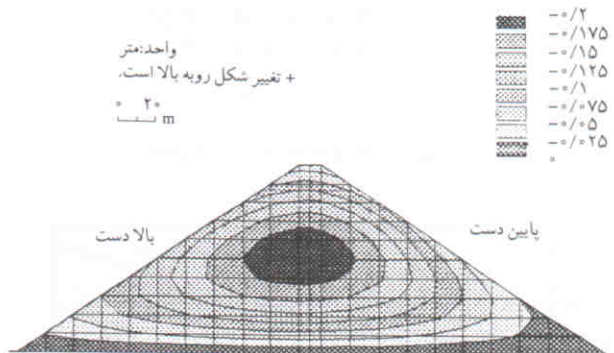
شکل ۱۳. الگوی توزیع تنش برشی در بدنه سد.

**بررسی نتایج حاصله**  
در شکل های ۱۳ تا ۸ مهم ترین نتایج بدست آمده از تحلیل استاتیکی سد در شرایط وجود آب در تراز نرمال خود (برابر  $90\text{ متر}$  از کف) مشاهده می‌شود.

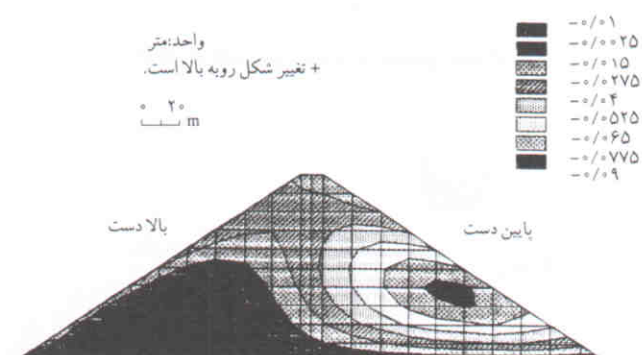
چنانکه در شکل ۸ مشاهده می‌شود، حداکثر نشست بدست آمده برابر  $33\text{ سانتی متر } / 33^\circ$  درصد ارتفاع سد) است که در تراز  $50\text{ متر}$  از کف حاصل می‌شود. باید توجه داشت که چنین الگویی برای نشست قائم به دلیل در نظر گرفتن توالی ساخت لایه‌ها بدست آمده



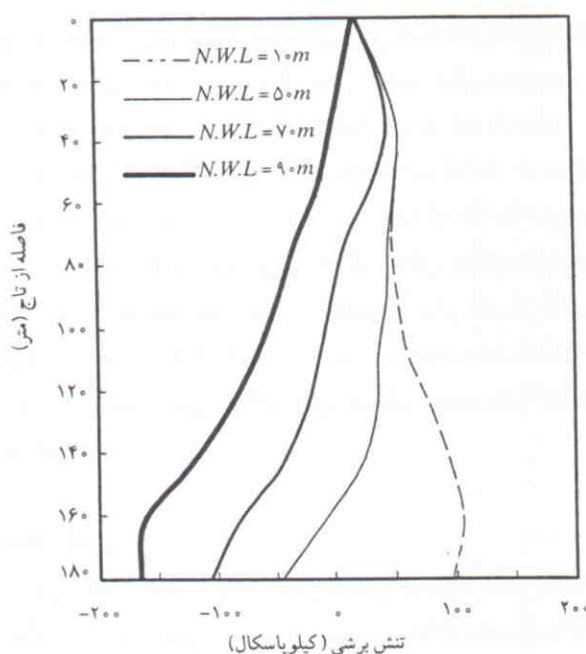
شکل ۸. الگوی نشست قائم بدنه سد پس از آبگیری تا تراز نرمال.



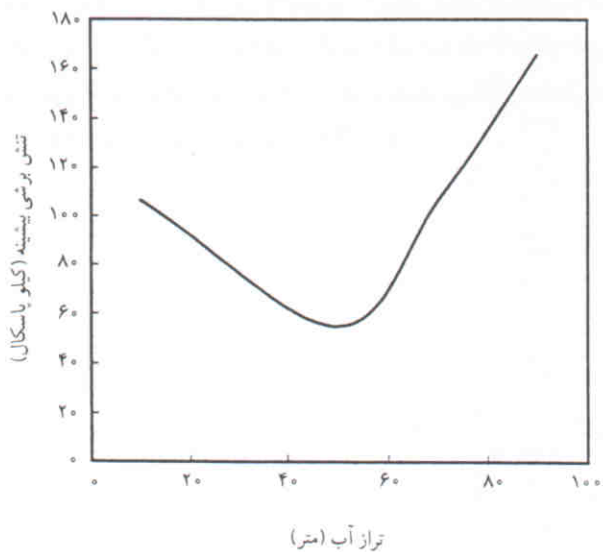
شکل ۹. الگوی نشست قائم بدنه سد پس از آبگیری تا تراز نرمال (رفتار کشسانی - خمیری).



شکل ۱۰. الگوی تغییر شکل افقی بدنه سد پس از آبگیری تا تراز نرمال (رفتار کشسانی - خمیری).



شکل ۱۵. اثر تغییر تراز آب روی توزیع تنش برشی در مرز بین دال و بدن سد.



شکل ۱۶. اثر تغییرات تراز آب روی مقدار تنش برشی حداکثر در مرز دال و بدن سد.

ملاحظه می شود، در شرایطی که ارتفاع آب در مخزن سد برابر ۱۰ متر فرض شود تنش برشی ثابت است و دال بتنی به طرف پائین حرکت می کند. این امر منجر به وارد شدن فشار روی دال بتنی پنجه می شود. به همین دلیل در ساخت سدهای CFR پیش بینی درز در محل تماس دال رویه و دال پنجه و پر کردن آن از مواد قابل تراکم توصیه می شود. به تدریج با افزایش ارتفاع آب در مخزن سد، علامت تنش برشی تغییر می کند و بخش بیشتری از دال بتنی تمايل به حرکت نسبی به طرف تاج سد می یابد. وقوع چنین پدیده بی را می توان از یک سو ناشی از

سانتی متر است که در مجاورت پوسته های پائین دست سد حاصل می شود.

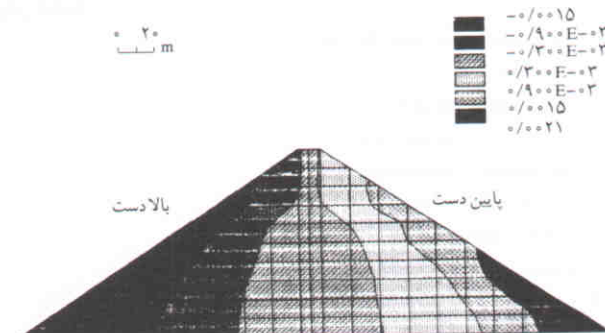
در شکل ۱۱، توزیع بردارهای تغییر مکان نقاط مختلف بدنی سد ملاحظه می شود. چنانکه مشاهده می شود روند عمومی تغییر مکان نقاط حرکت به طرف پائین دست است، به گونه بی که انتظار می رود برآمدگی ملایمی در پوسته های پائین دست سد ظاهر شود.

در شکل ۱۲ نحوه تغییر شکل دال بتنی رویه نشان داده شده است. چنانکه ملاحظه می شود حداکثر مقدار تغییر شکل دال حدود ۱۹ سانتی متر است که حدوداً در ارتفاع ۶۰ متری از کف اتفاق می افتد.

در شکل ۱۳ و ۱۴ الگوی توزیع تنش برشی و کرنش برشی خمیری در بدنی سد ملاحظه می شود. چنانکه در شکل ۱۳ مشاهده می شود مقدار حداکثر تنش برشی در بدنی سد حدود ۲۶۰ کیلو پاسکال است که در مجاورت کف در بخش پائین دست سد اتفاق می افتد.

همچنین چنانکه در شکل ۱۴ مشاهده می شود، حداکثر کرنش برشی خمیری حدود ۲۱٪ درصد است و در مجاورت پوسته های پائین دست سد ایجاد می شود. الگوی توزیع کرنش برشی خمیری می تواند به عنوان یک معیار کیفی، نحوه توزیع شرایط خمیری در بخش های مختلف بدنی سد را نیز نمایش دهد.

بخش دیگری از مطالعات حاضر، شامل بررسی اثر تغییرات تراز آب مخزن رفتار سدهای CFR است، در قالب شکل های ۱۵ و ۱۶ ملاحظه می شود. مهم ترین پارامتر مورد توجه در این بررسی، نحوه توزیع تنش برشی در مرز دال و بدنی سد است. این امر به ویژه از نظر آشنایی با چگونگی رفتار دال بتنی حائز اهمیت است. چنانکه در شکل ۱۵ ملاحظه می شود، نحوه توزیع تنش برشی در محیط حد فاصل در سه تراز مختلف آبگیری مخزن رسم شده است. در این نمودار، علامت مثبت تنش برشی نشان دهنده حرکت نسبی دال بر روی شیب به طرف پائین (سنگ بستر) و علامت منفی معرف حرکت نسبی دال به طرف بالا (تاج ۱۱ سد) است. برای این اساس، چنانکه



شکل ۱۷. الگوی توزیع کرنش برشی خمیری در بدنی سد.

۱. حداکثر نشست بدنی سد حدود ۳۲٪ درصد ارتفاع سد حاصل و محل وقوع بیشینه‌ی نشست قائم در فاصله‌ی H/۵٪ از روی سنگ کف مشاهده شد.

۲. حداکثر تغییر شکل افقی بدنی سد در مجاورت پوسته‌ی پائین دست حاصل می‌شود و از این رو انتظار می‌رود که پوسته‌ی پائین دست دچار برآمدگی ملایمی شود.

۳. حداکثر تغییر شکل دال بتنی برای سد مورد مطالعه حدود ۲٪ درصد ارتفاع سد است که در محدوده‌ی H/۶٪ از روی سنگ بستر مشاهده می‌شود.

۴. حداکثر کرنیش برشی خمیری حدود ۲٪ درصد است و بخش‌های مجاور پوسته‌ی بالا دست و پائین دست حداکثر رفتار خمیری را ز خود بروز می‌دهند.

۵. تغییر جهت نتش برشی در محل تماس دال و بدنی بر اثر تغییرات تراز آب مخزن، مؤید این است که در ترازهای آبگیری پائین، حرکت نسبی دال بتنی به طرف پائین و در ترازهای آبگیری بالا، حرکت نسبی دال بتنی به طرف تاج سد است.

۶. حداکثر نتش برشی در مرز دال و بدنی، از ابتدای آبگیری تا حدود تراز معادل ۵٪ ارتفاع کل سد کم می‌شود و پس از آن در جهت عکس افزایش می‌یابد.

افزایش ظرفیت برشی محیط حد فاصل بر اثر اضافه شدن تنفس نرمال حاصل از وزن آب، و از سوی دیگر ناشی از تغییر شکل بدنی سد رو به پائین دست و تمایل دال به تعییت از شکل جدید بدن دانست.

در شکل ۱۶ حداکثر تنفس برشی محیط حد فاصل در برابر ترازهای مختلف آب مخزن رسم شده است. چنانکه ملاحظه می‌شود تا حدود ارتفاع ۵۰ متر، تنفس برشی حداکثر به دلیل عملکرد فشار آب و وزن دال در دو جهت متفاوت و اثر کاهنده‌ی آنها بر یکدیگر کاهش می‌یابد. از حدود ارتفاع ۵۰ متر به بعد به دلیل غلبه‌ی عامل فشار آب بر وزن دال، تنفس برشی حداکثر، علی‌رغم تغییر جهت، دائمًا افزایش خواهد یافت.

### نتیجه‌گیری

در این نوشتار، مجموعه‌یی از نتایج تحلیلی در مورد رفتار سدهای سنگریز با رویه‌ی بتنی ارائه شد. در این بررسی‌ها از مدل‌سازی المان محدود، برای مدل کردن رفتار مصالح سنگریز از مدل رفتار حالت بحرانی استفاده شد. دال بتنی به صورت کشسان مدل شده و برای اتصال مناسب دال بتنی به بدنی سنگریز المان درز بارفتار کشسانی -خمیری کامل موهر -کولمب به کار رفت. مهم‌ترین نتایج حاصل از این مطالعات را می‌توان بدین شرح خلاصه کرد:

### پانوشت‌ها

1. concrete faced rockfill dam
2. concrete slab
3. critical state model
4. hydrostatic compression
5. oedometer consolidation test
6. associated flow rule
7. drucker-prager
8. dilation
9. nonassociated flow rule
10. mohr-coulomb
11. crest

### منابع

1. Desai, C. S. and Siriwardane, H. J., Constitutive laws for engineering materials, Prentice-Hall Inc., New Jersey, (1984).
2. Britto, A. M. and Gunn, M. J., Critical state soil mechanics via finite elements, John Wiley & Sons, New York, (1987).
3. Marg, M., Rockfill Dams, Central Board of Irrigation and Power, New Delhi, (1992).
- 4- Nayak, G. C., and Zienkiewicz, O. C., "Elasto-Plastic stress analysis", *Int. J. for Num. Methods in Engrg.*, 5, pp 113-135, (1972).
- 5- ANSYS user manual, 2nd Edition, SAS IP. Inc., (1996).